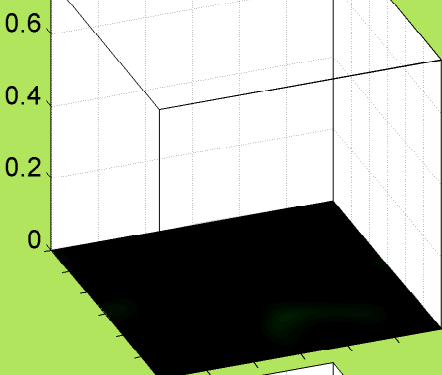
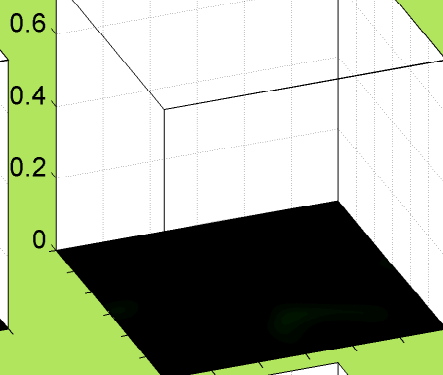


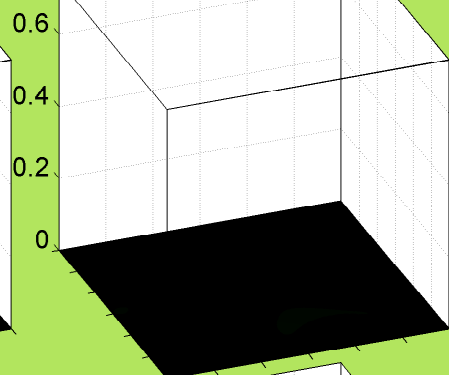
LYS: $P(r=\langle g^+, g^+, g^+, g^+ \rangle | \phi, \psi), 0.01\%$



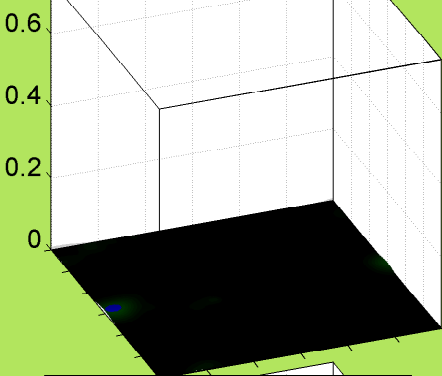
LYS: $P(r=\langle g^+, g^+, g^+, t \rangle | \phi, \psi), 0.01\%$



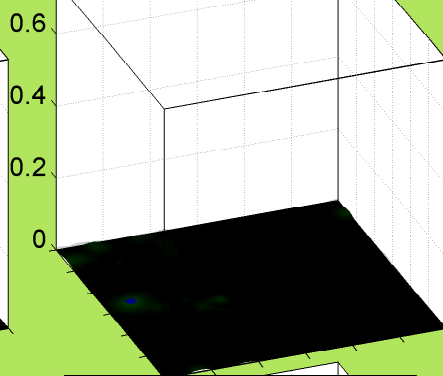
LYS: $P(r=\langle g^+, g^+, g^+, g^- \rangle | \phi, \psi), 0.01\%$



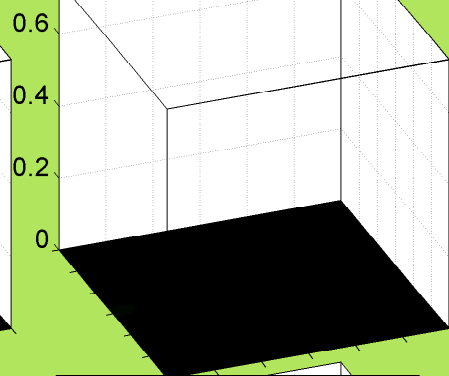
LYS: $P(r=\langle g^+, g^+, t, g^+ \rangle | \phi, \psi), 0.03\%$



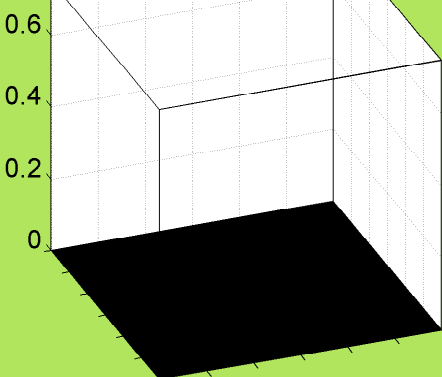
LYS: $P(r=\langle g^+, g^+, t, t \rangle | \phi, \psi), 0.08\%$



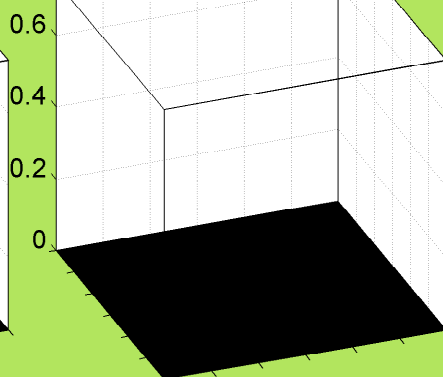
LYS: $P(r=\langle g^+, g^+, t, g^- \rangle | \phi, \psi), 0.01\%$



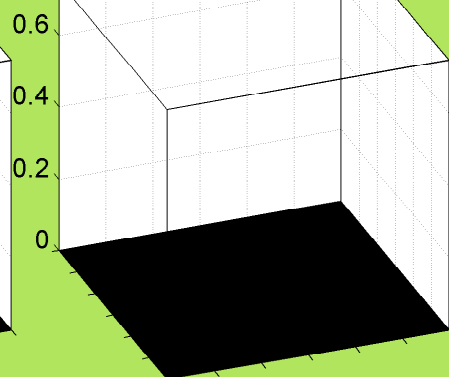
LYS: $P(r=\langle g^+, g^+, g^-, g^+ \rangle | \phi, \psi), 0.00\%$

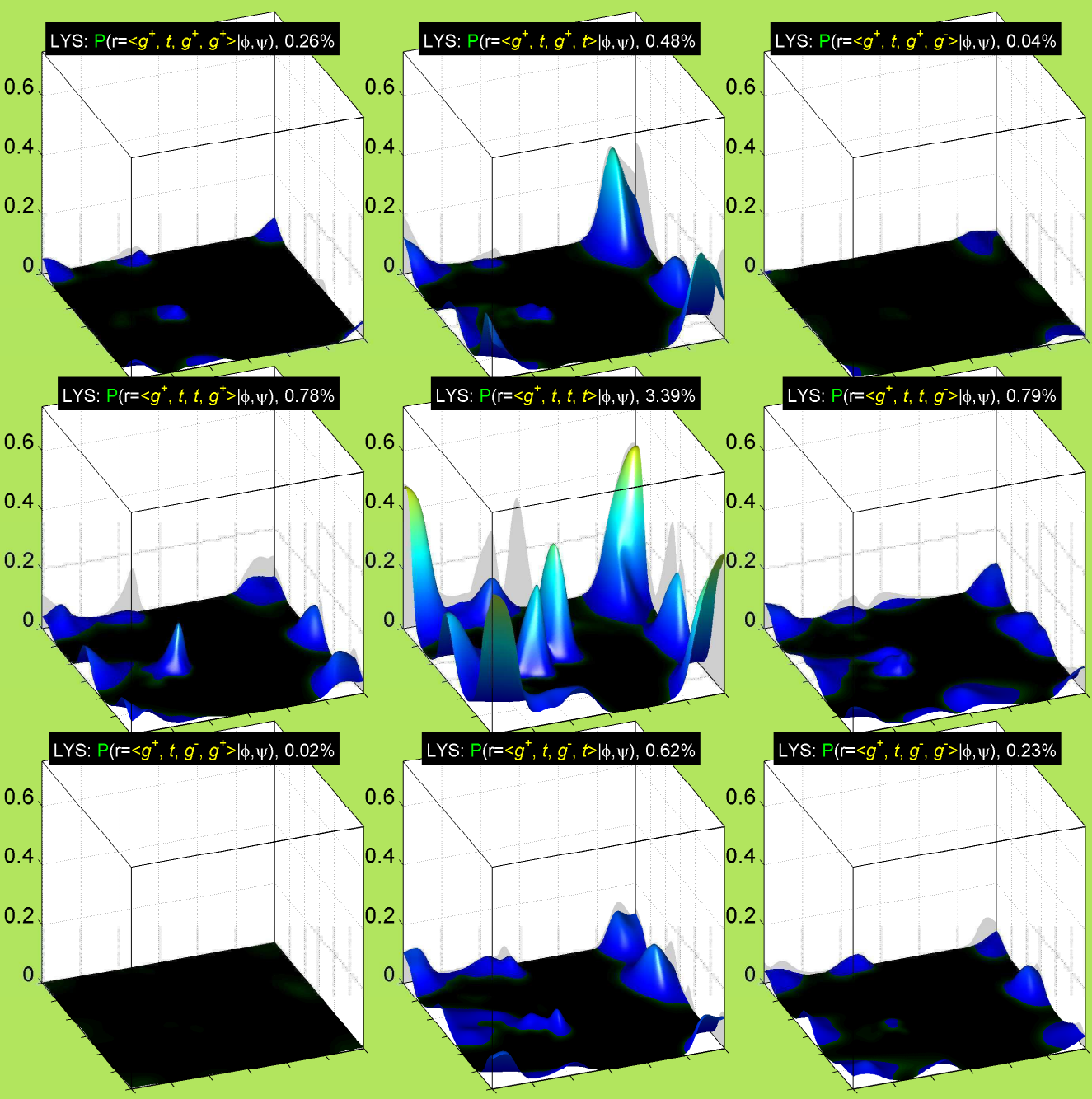


LYS: $P(r=\langle g^+, g^+, g^-, t \rangle | \phi, \psi), 0.00\%$

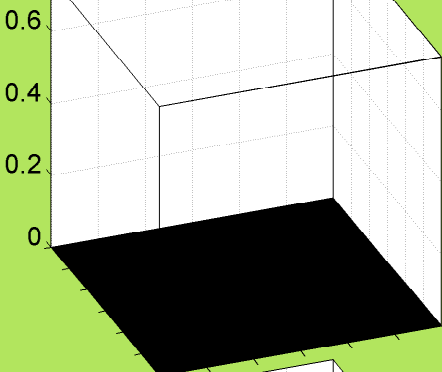


LYS: $P(r=\langle g^+, g^+, g^-, g^- \rangle | \phi, \psi), 0.00\%$

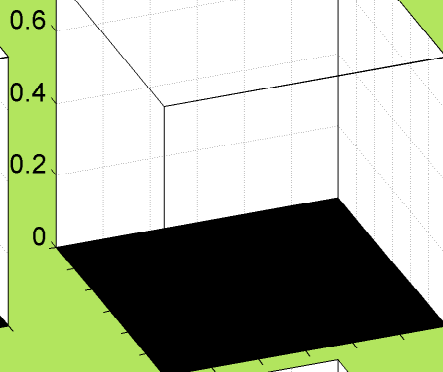




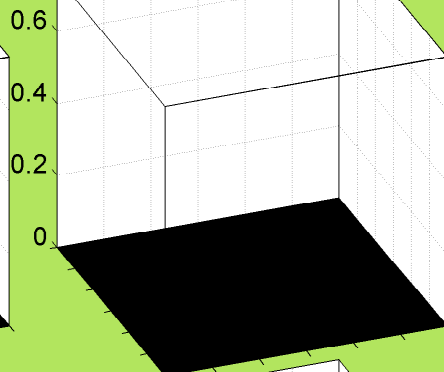
LYS: $P(r=\langle g^+, g^-, g^+, g^+ \rangle | \phi, \psi)$, 0.00%



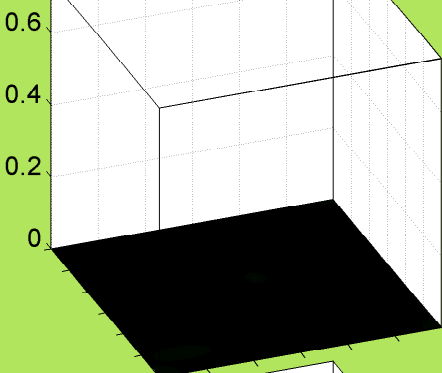
LYS: $P(r=\langle g^+, g^-, g^+, t \rangle | \phi, \psi)$, 0.00%



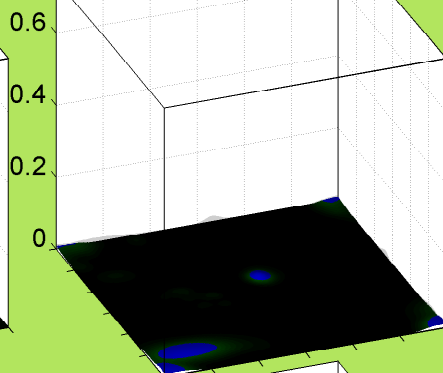
LYS: $P(r=\langle g^+, g^-, g^+, g^- \rangle | \phi, \psi)$, 0.00%



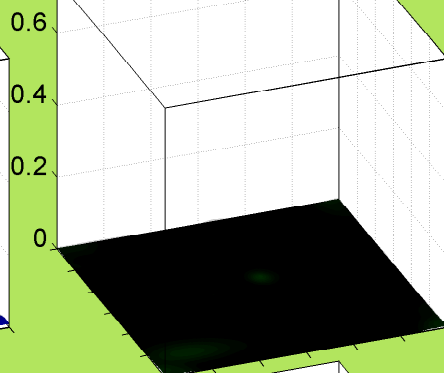
LYS: $P(r=\langle g^+, g^-, t, g^+ \rangle | \phi, \psi)$, 0.01%



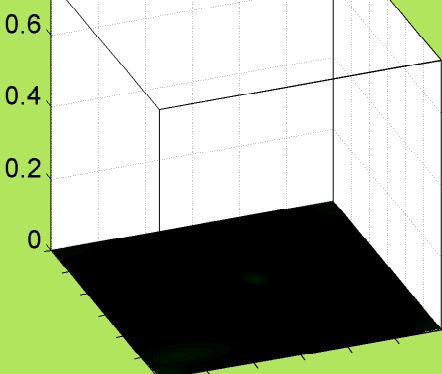
LYS: $P(r=\langle g^+, g^-, t, t \rangle | \phi, \psi)$, 0.04%



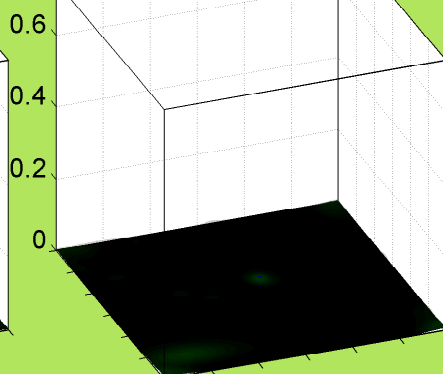
LYS: $P(r=\langle g^+, g^-, t, g^- \rangle | \phi, \psi)$, 0.02%



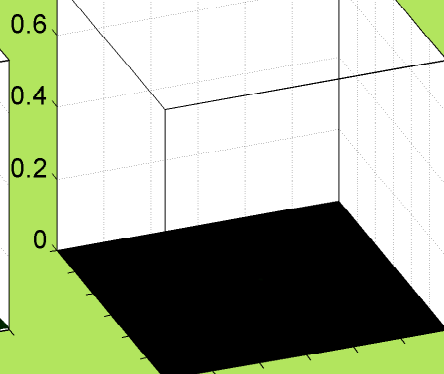
LYS: $P(r=\langle g^+, g^-, g^-, g^+ \rangle | \phi, \psi)$, 0.01%

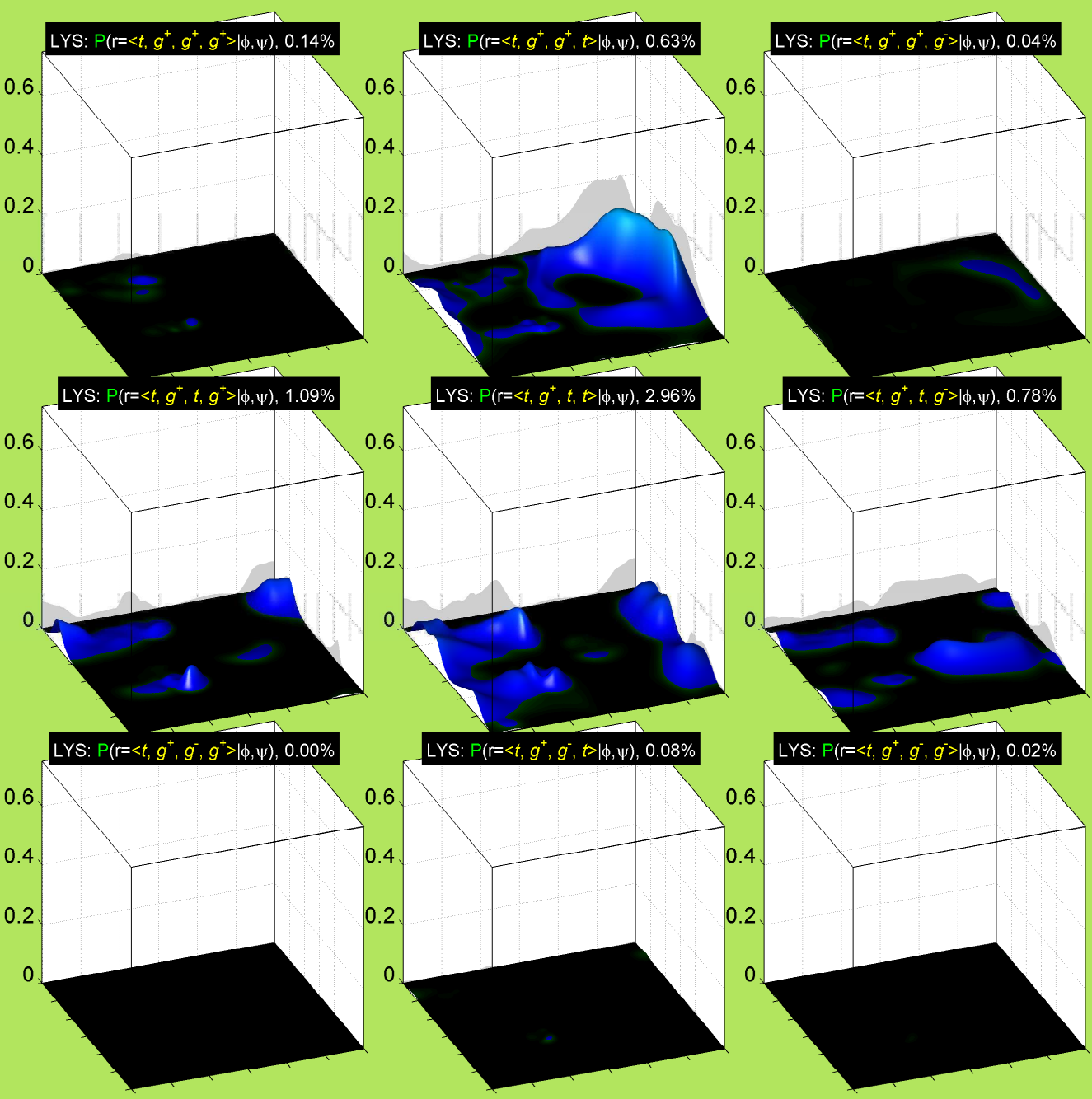


LYS: $P(r=\langle g^+, g^-, g^-, t \rangle | \phi, \psi)$, 0.02%

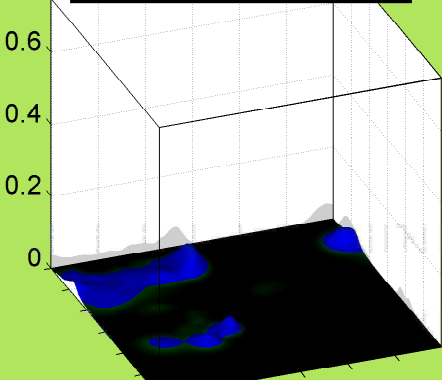


LYS: $P(r=\langle g^+, g^-, g^-, g^- \rangle | \phi, \psi)$, 0.00%

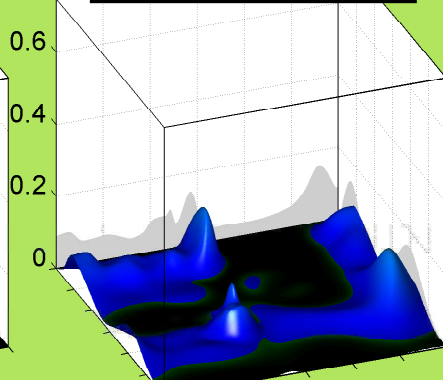




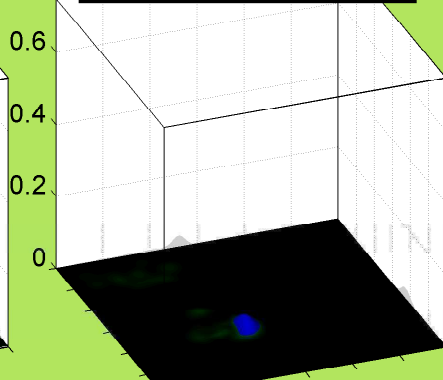
LYS: $P(r=\langle t, t, g^+, g^+ \rangle | \phi, \psi)$, 0.77%



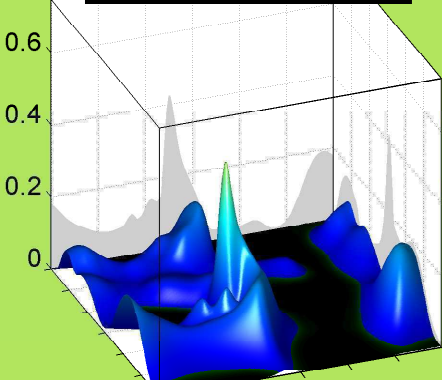
LYS: $P(r=\langle t, t, g^+, t \rangle | \phi, \psi)$, 2.64%



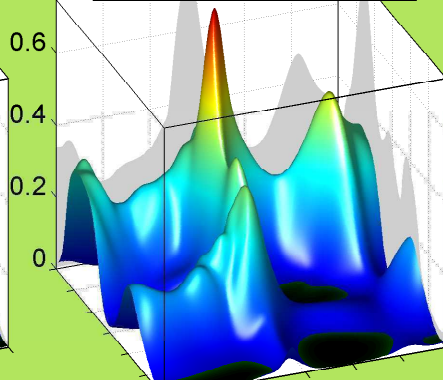
LYS: $P(r=\langle t, t, g^+, g^- \rangle | \phi, \psi)$, 0.17%



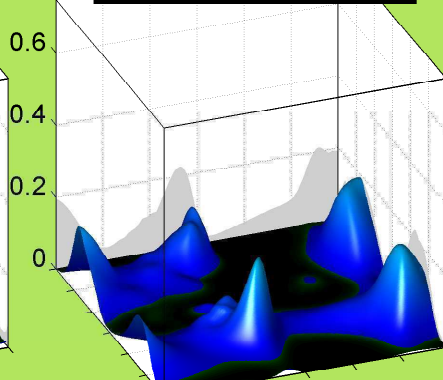
LYS: $P(r=\langle t, t, t, g^+ \rangle | \phi, \psi)$, 4.06%



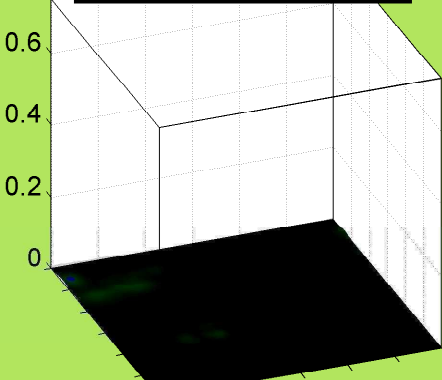
LYS: $P(r=\langle t, t, t, t \rangle | \phi, \psi)$, 13.46%



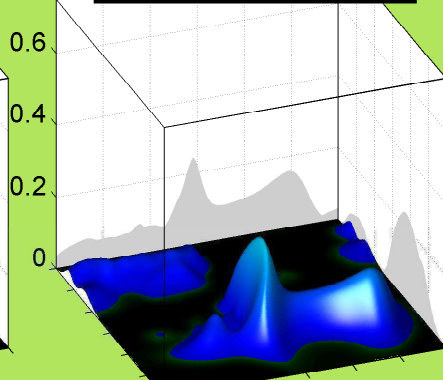
LYS: $P(r=\langle t, t, t, g^- \rangle | \phi, \psi)$, 3.70%



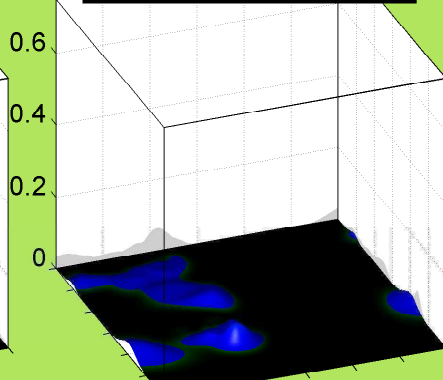
LYS: $P(r=\langle t, t, g^-, g^+ \rangle | \phi, \psi)$, 0.13%

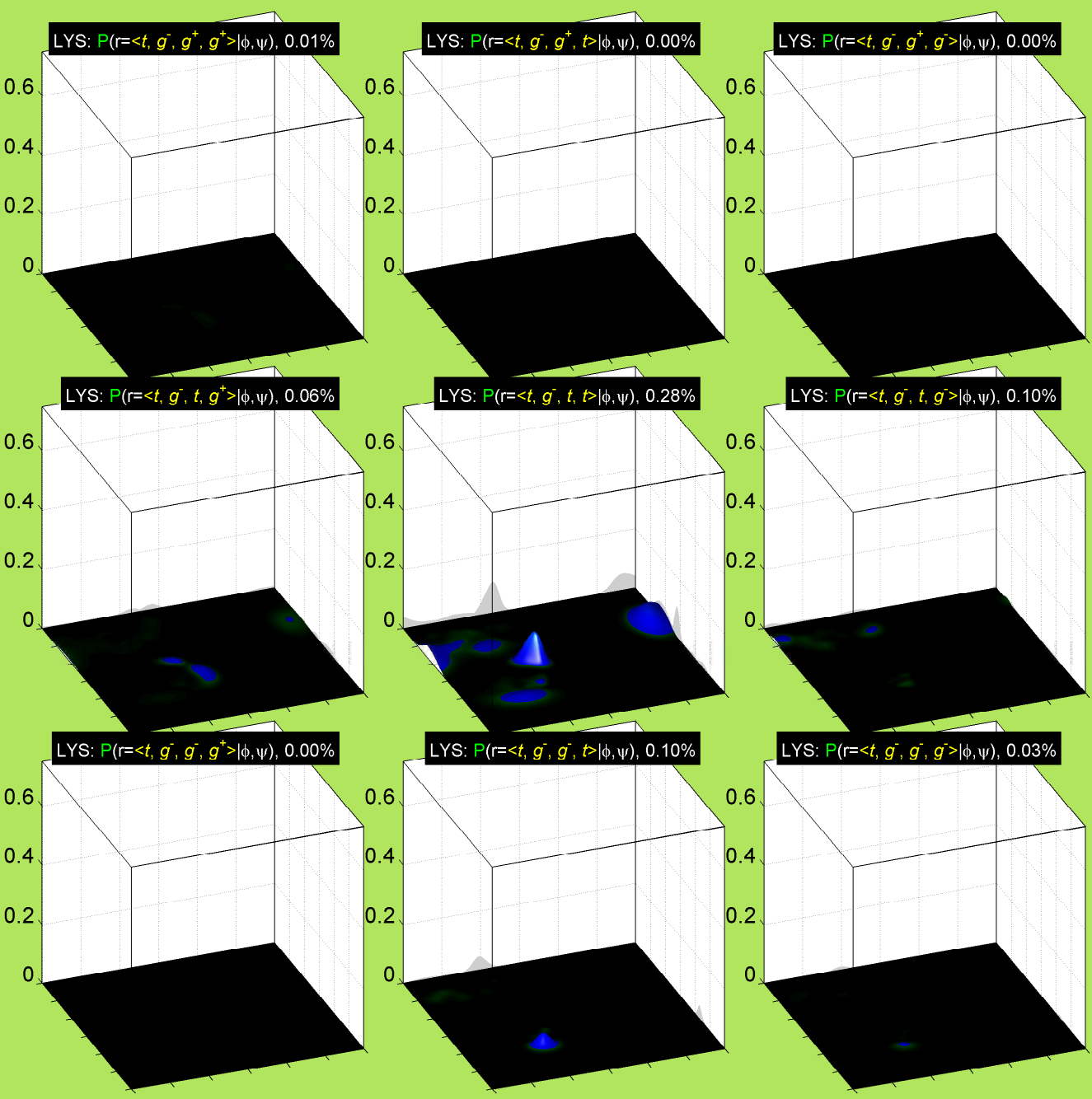


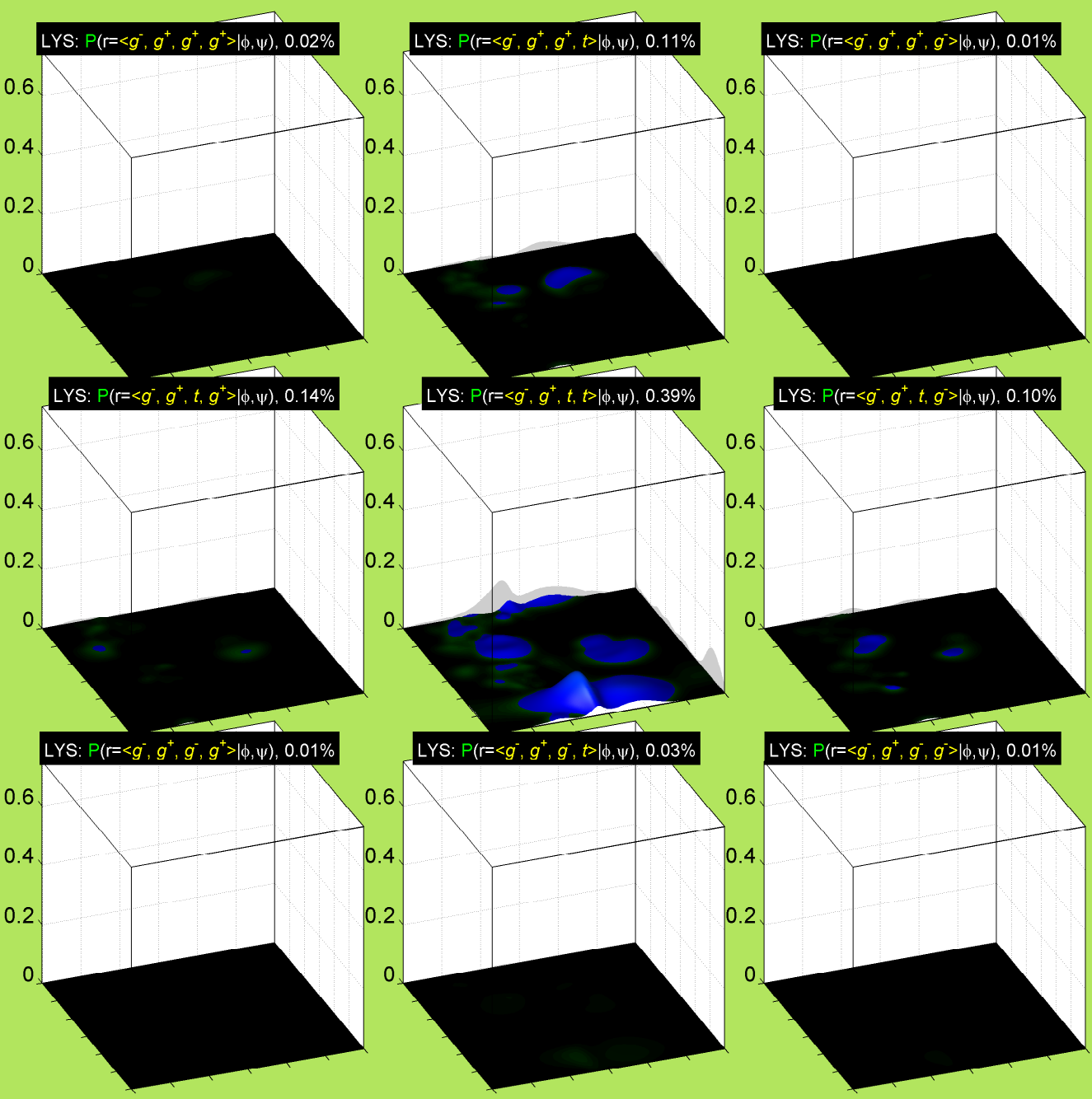
LYS: $P(r=\langle t, t, g^-, t \rangle | \phi, \psi)$, 2.42%



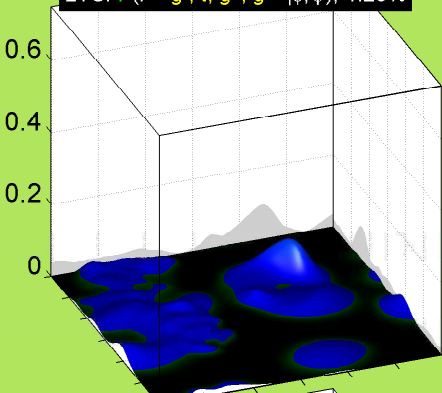
LYS: $P(r=\langle t, t, g^-, g^- \rangle | \phi, \psi)$, 0.69%



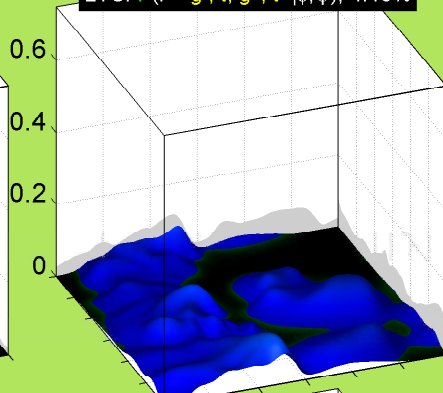




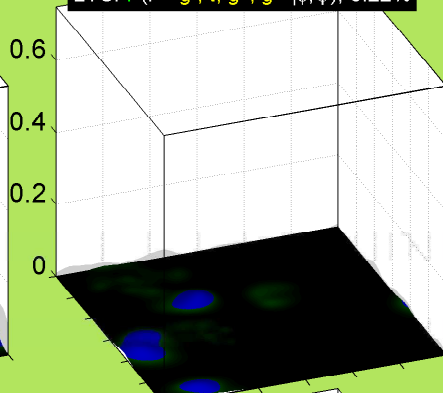
LYS: $P(r=<g^-, t, g^+ | \phi, \psi)$, 1.29%



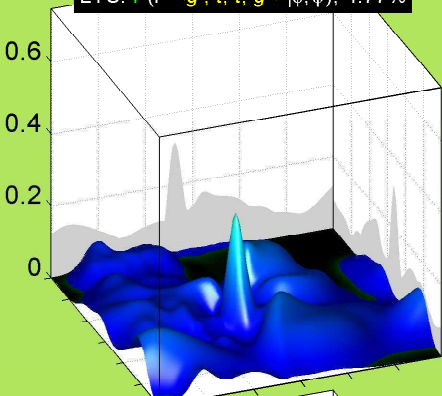
LYS: $P(r=<g^-, t, g^+, t | \phi, \psi)$, 4.10%



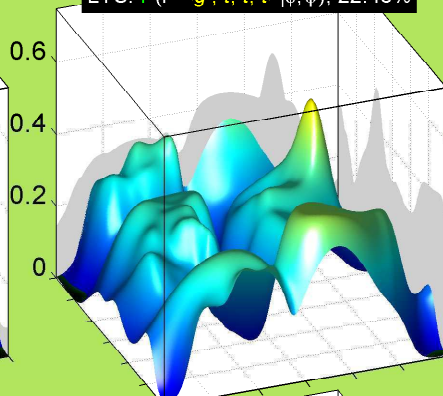
LYS: $P(r=<g^-, t, g^+, g^- | \phi, \psi)$, 0.22%



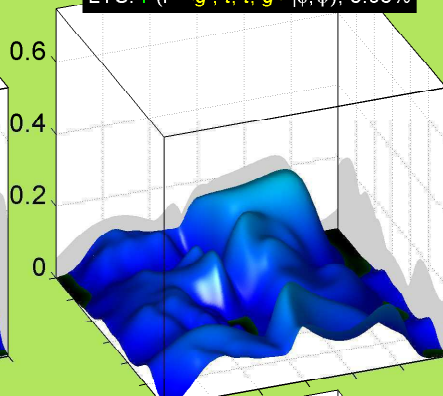
LYS: $P(r=<g^-, t, t, g^+ | \phi, \psi)$, 4.77%



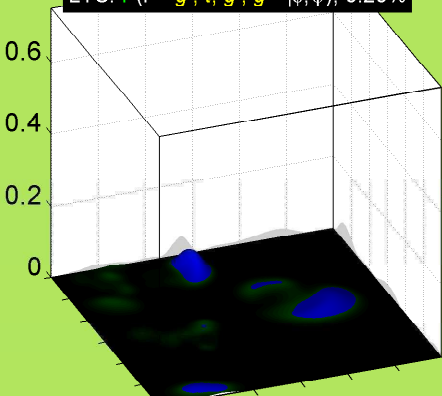
LYS: $P(r=<g^-, t, t, t | \phi, \psi)$, 22.43%



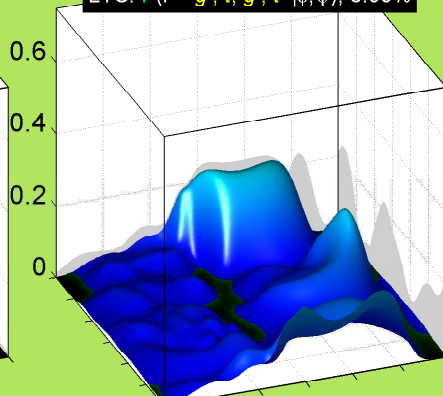
LYS: $P(r=<g^-, t, t, g^- | \phi, \psi)$, 5.96%



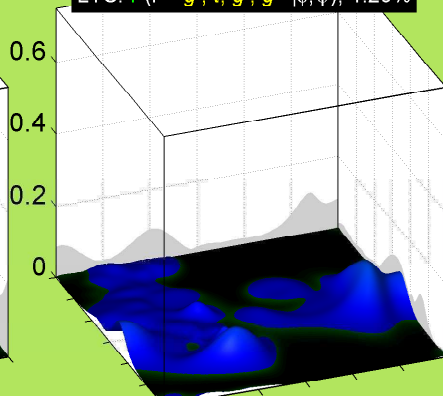
LYS: $P(r=<g^-, t, g^-, g^+ | \phi, \psi)$, 0.20%



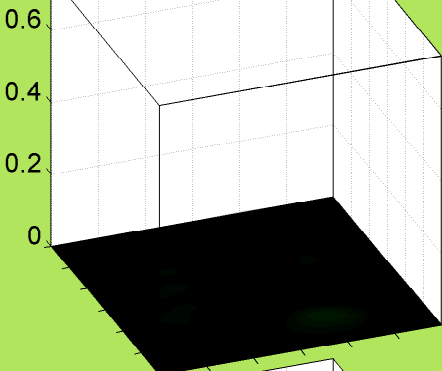
LYS: $P(r=<g^-, t, g^-, t | \phi, \psi)$, 3.90%



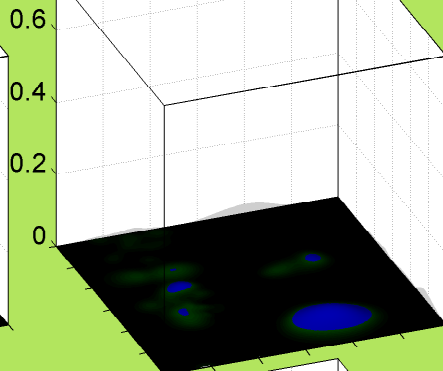
LYS: $P(r=<g^-, t, g^-, g^- | \phi, \psi)$, 1.29%



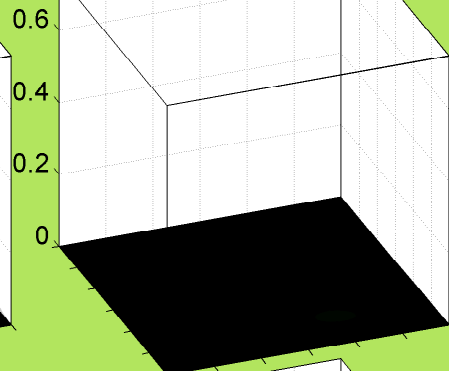
LYS: $P(r=\langle g^-, g^-, g^+, g^+ \rangle | \phi, \psi)$, 0.03%



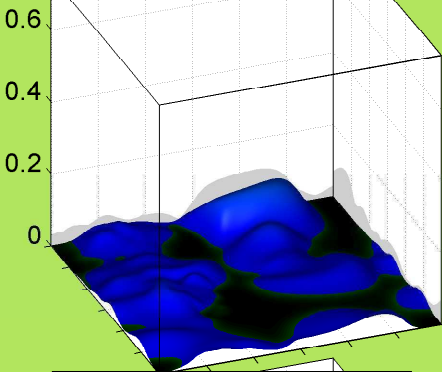
LYS: $P(r=\langle g^-, g^-, g^+, t \rangle | \phi, \psi)$, 0.19%



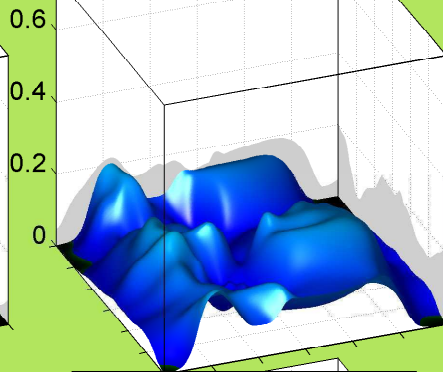
LYS: $P(r=\langle g^-, g^-, g^+, g^- \rangle | \phi, \psi)$, 0.01%



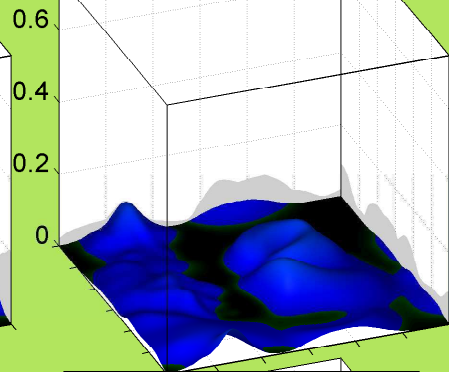
LYS: $P(r=\langle g^-, g^-, t, g^+ \rangle | \phi, \psi)$, 1.72%



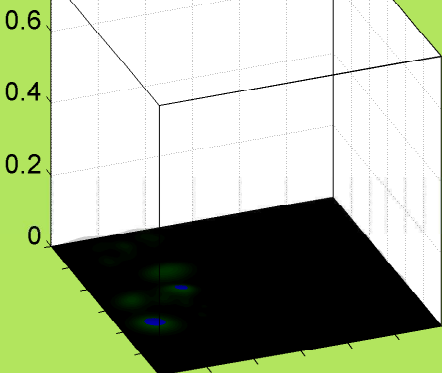
LYS: $P(r=\langle g^-, g^-, t, t \rangle | \phi, \psi)$, 7.64%



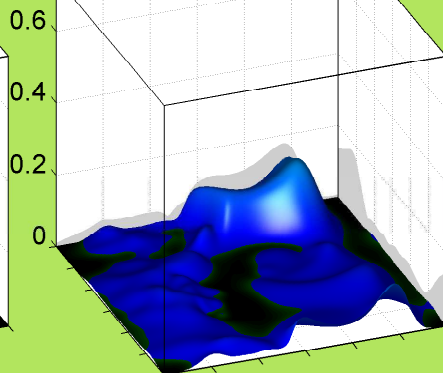
LYS: $P(r=\langle g^-, g^-, t, g^- \rangle | \phi, \psi)$, 2.24%



LYS: $P(r=\langle g^-, g^-, g^-, g^+ \rangle | \phi, \psi)$, 0.07%



LYS: $P(r=\langle g^-, g^-, g^-, t \rangle | \phi, \psi)$, 1.60%



LYS: $P(r=\langle g^-, g^-, g^-, g^- \rangle | \phi, \psi)$, 0.30%

